



Middleware für mobile spontan vernetzte Sensornetzwerke

Jan Blumenthal, Dirk Timmermann
Universität Rostock

DFG-SPP 1140 Jahreskolloquium:
Basissoftware für selbstorganisierende Infrastrukturen für
vernetzte mobile Systeme
24.-26.01.2005, Dagstuhl



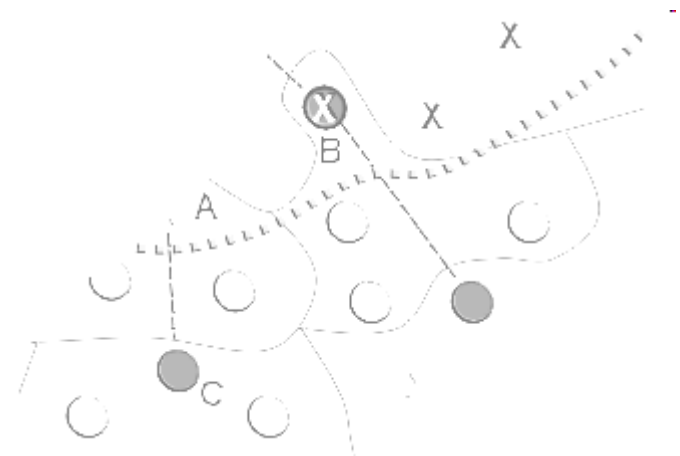
Übersicht

Ergebnisse

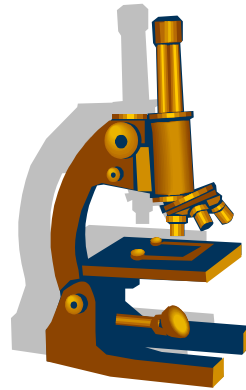
- SeNeTs
- Data Collection Protocol
- Coarse Grained Localization
- Weighted Centroid Localization

Aktuelle Forschung

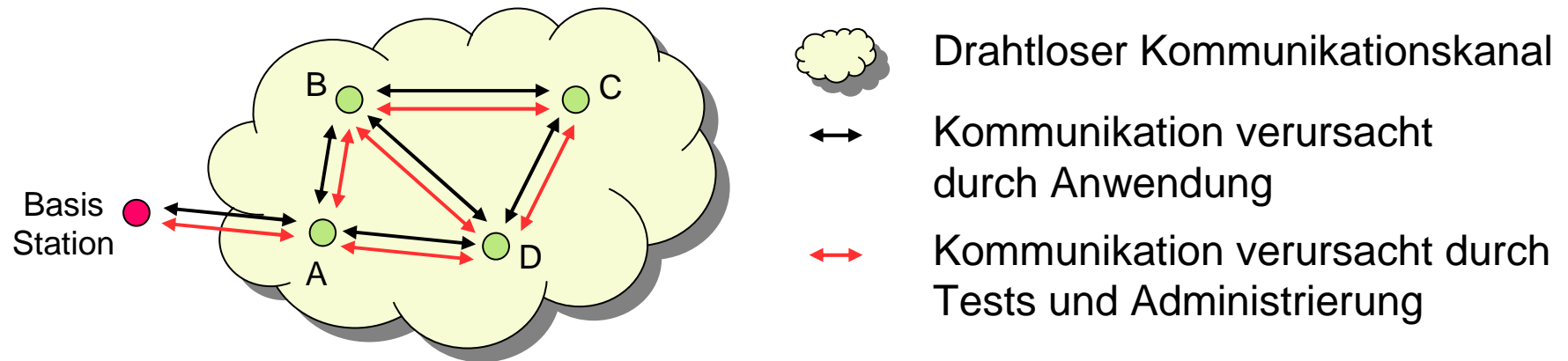
- EnviSense
- Mobile Positionierung
- Veröffentlichungen



– Ergebnisse – SeNeTs



Test von Sensornetzwerksoftware



- Erhöhte Kommunikation
- Drahtlose Kommunikationskanäle agieren als **Flaschenhals**
- Resultate werden unrealistisch oder falsch

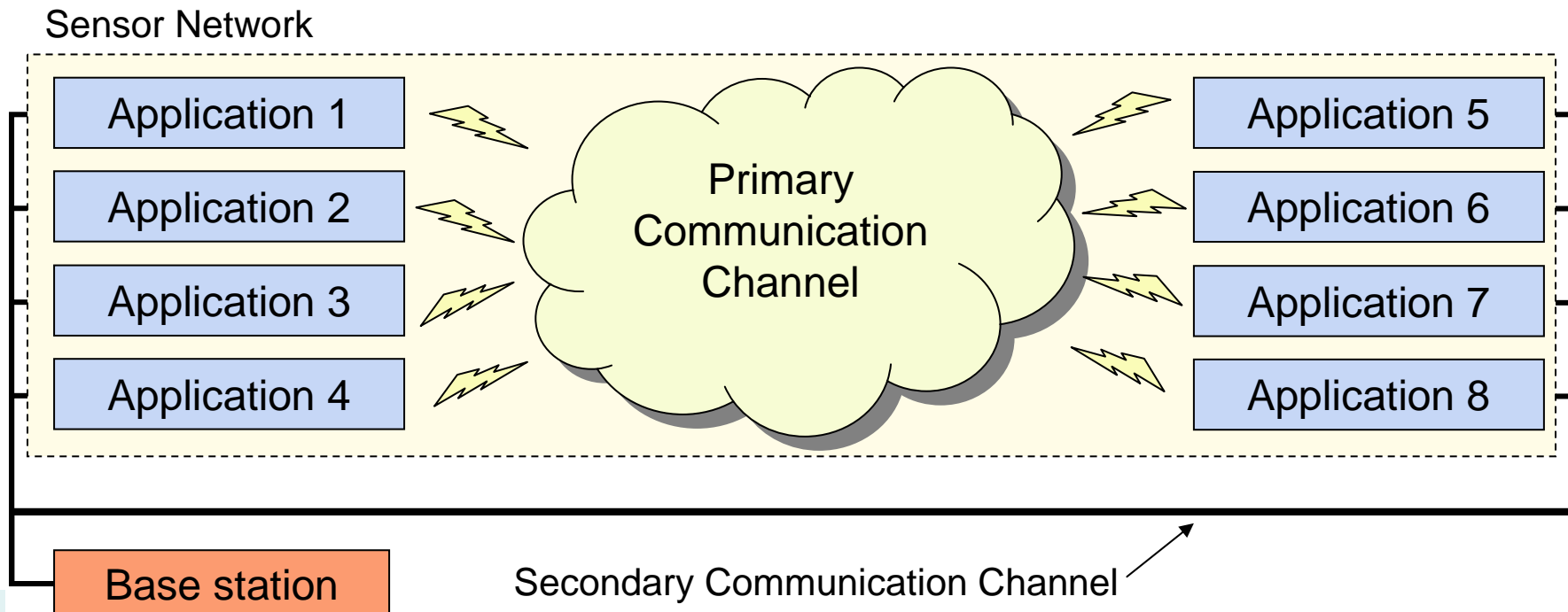
↓ Ansatz

- Ausführen von Sensorknoten Anwendungen auf PC's bestückt mit Bluetooth-Sensoren
- Anwendungen kommunizieren per Funk
- Administration via LAN-Backbone



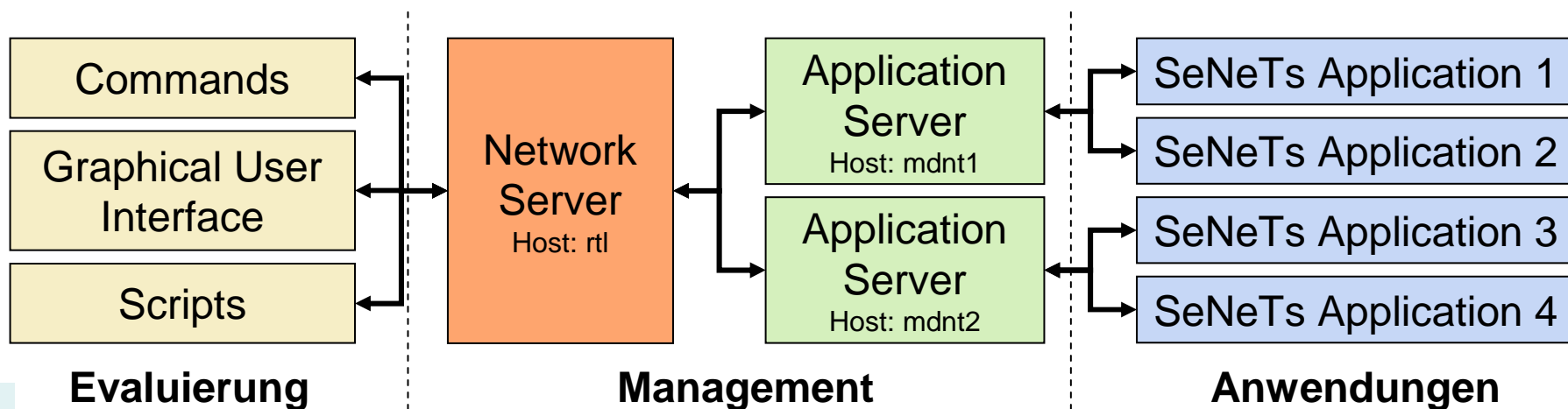
Kommunikationskanäle

- Anwendungen kommunizieren durch primären Kanal
- Administrierung durch sekundären Kommunikationskanal
 - ... verhindert Flaschenhals-Effekt
 - ... beseitigt Einfluss von Test und Administrierung auf den primären drahtlosen Kommunikationskanal



SeNeTs-Architektur

- Hierarchische Netzwerkarbeit
- Loser Verbund der Komponenten
- Zusätzliche Features:
 - Logging und Steuerung von entfernten Sensorknoten
 - Software-Updates
 - Kommunikations-Management (sekundärer Kanal)

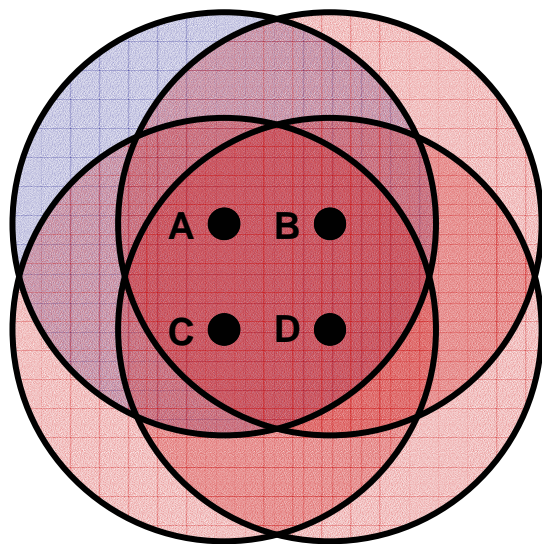


Positionsbasierte Filterung

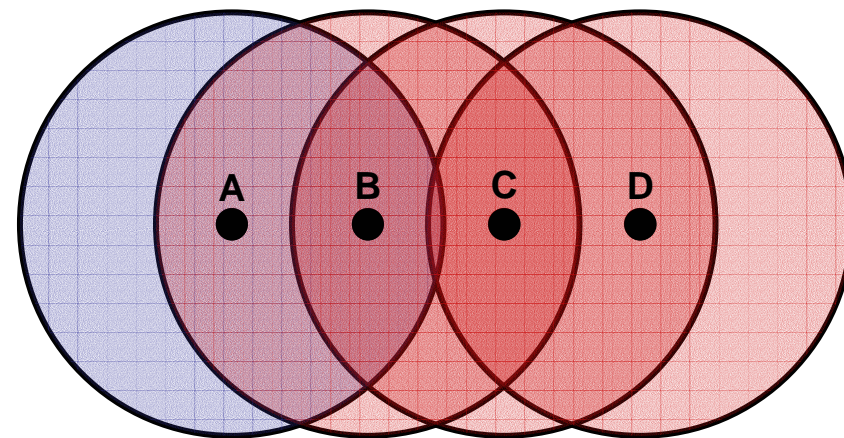
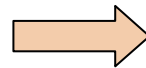
- Physikalische und virtuelle Positionen stimmen nicht überein
- Alle Knoten innerhalb der gegenseitigen Übertragungreichweite



Filterung aller Nachrichten, die von Knoten empfangen wurden, die sich **nicht** in virtueller Übertragungreichweite befinden.



Physikalische Anordnung (Labor)



Virtuelle Anordnung (Deich)



SeNeTs – Derzeitiger Stand

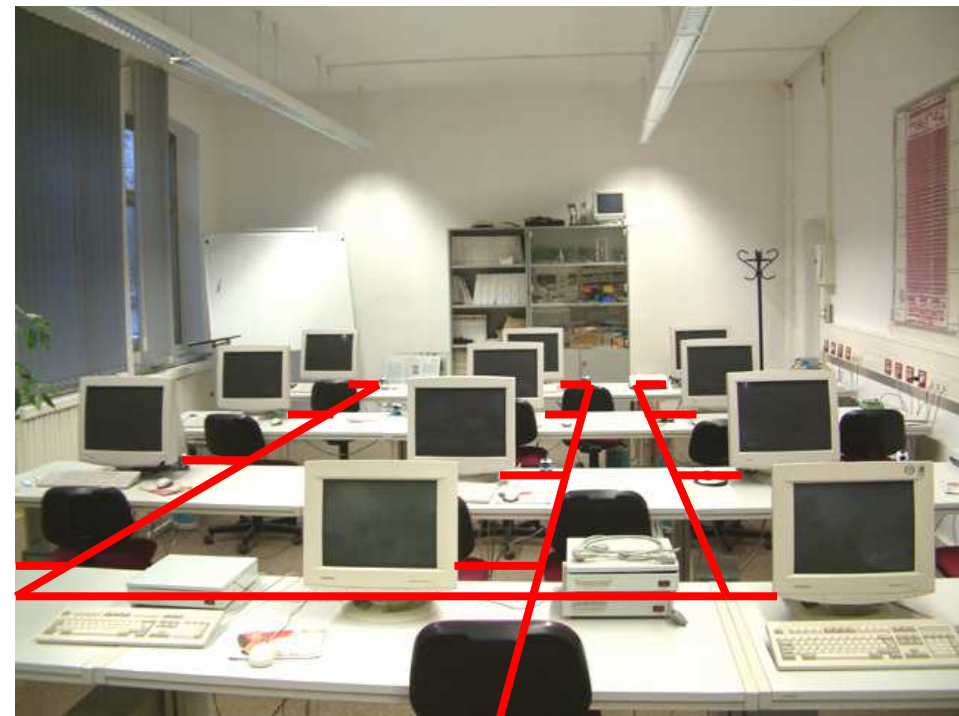
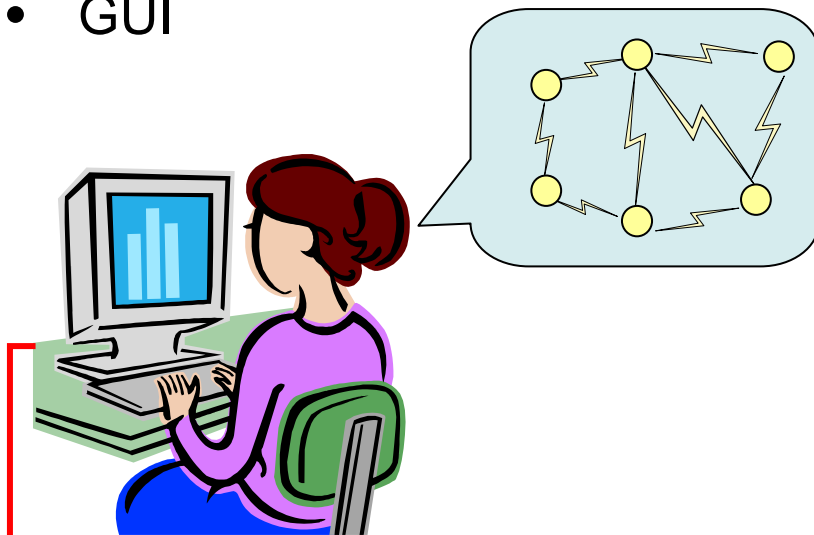
Bereits fertiggestellt:

- Plattformunabhängig (Linux, Windows)
- Zwei Beispiel-Anwendungen (ANSI C)
- Application-Server (C++)
- Network-Server (C++)



In Arbeit:

- Umgebungs-Management
- GUI



Commands via TCP/IP



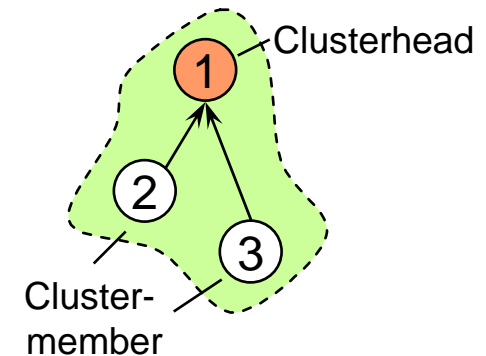
– Ergebnisse –

Data Collection Protocol

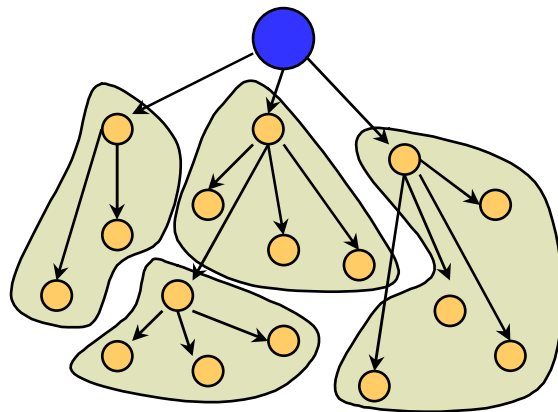
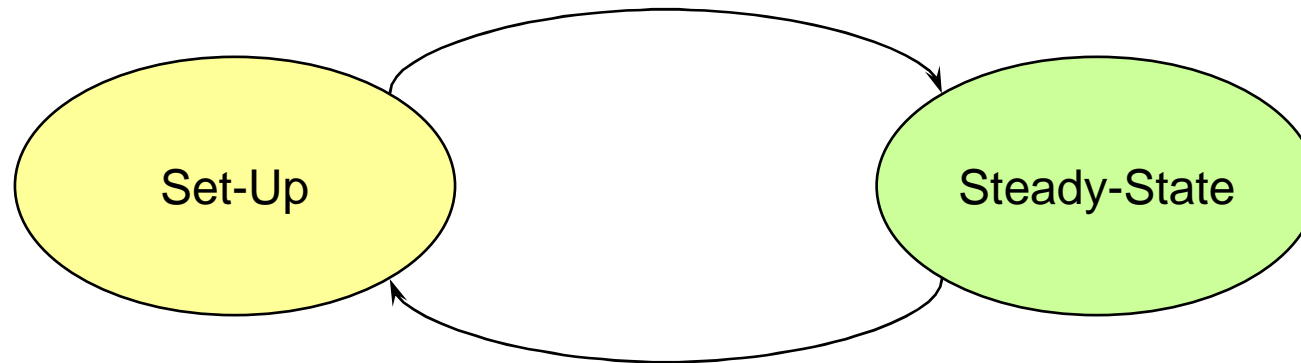


Data Collection Protocol (DCP)

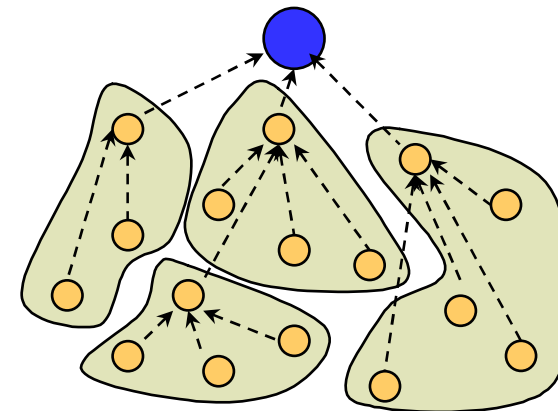
- Begriff: „Data Collection“
- Kooperationsstrategie: **Clustering**
 - Clusterhead, Clustermember
- Periodische Cluster **Reorganisation**
 - Gleichmäßiger Energieverbrauch
 - Einbeziehen von Topologieänderungen
- Bluetooth
- DCP baut Clusterhierarchien, enthält aber kein Verbindungsmanagement (im Gegensatz zu Scatternetzen!)



Data Collection Protocol – 2 Phasen



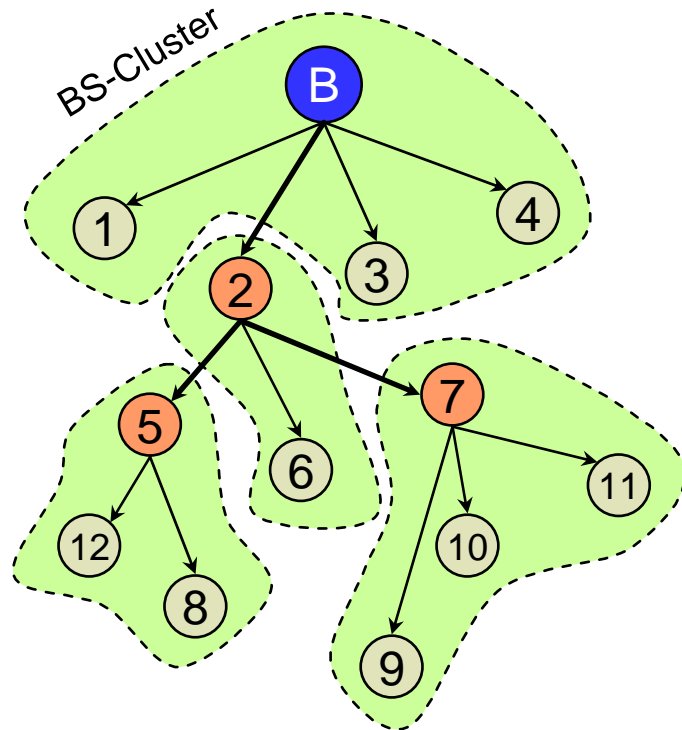
- Wahl des Clusterheads
- Cluster-Formierung
- Aufbau des Routings



Sammeln der
Sensordaten



DCP – Set-Up-Phase (I)



Abkürzungen:

BS = Basisstation
CM = Clustermember
CH = Clusterhead
PFA = Packet Forward Address

1. Wahl des Clusterheads

- zufällig bestimmt

2. Base Station Inquiry

- Ermitteln des CH und des 1-hop-CM

3. Basisstation überträgt PFA

- erst CMs (1,3,4), dann CHs (2)

4. Entdeckte Knoten schalten Inquiry Scan ab

- „invisible“ mode

5. 1-hop entferntes CH inquiry

- bereits entdeckte CM and CH werden durch BS nicht mehr detektiert, da Inq.-Scan aus

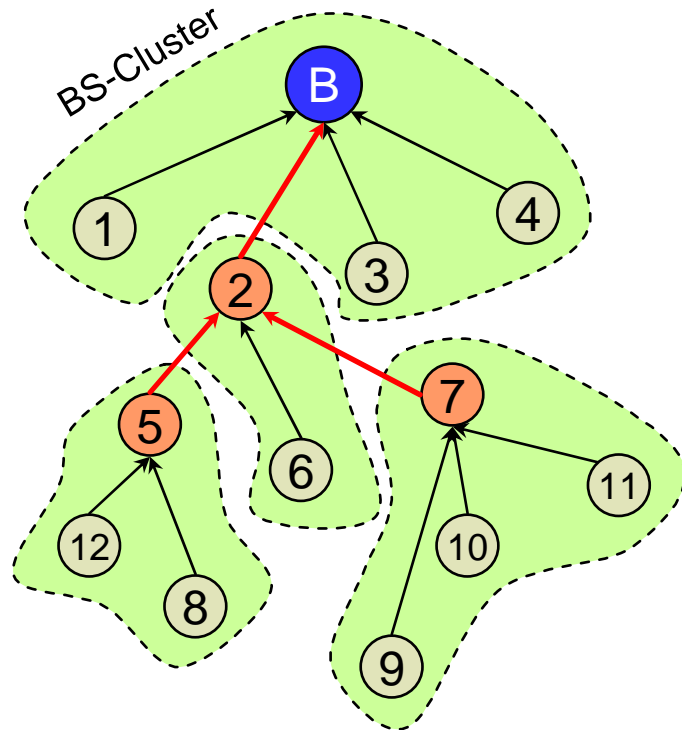
6. 1-hop entfernte CH übertragen PFA

- erst CMs (6), dann CHs (5,7)

⋮



DCP – Steady-State-Phase



Abkürzungen:

BS = Basisstation
CM = Clustermember
CH = Clusterhead
PFA = Packet Forward Address

- Clustermember überträgt Sensordaten zum Clusterhead
- CH verarbeitet Sensordaten vor (Data Compression/Fusion)
- Clusterhead sendet aggregierte Daten an PFA/Basisstation

Knoten trennen Verbindung sofort nach Datenübertragung (im Gegensatz zu Scatternetzen)

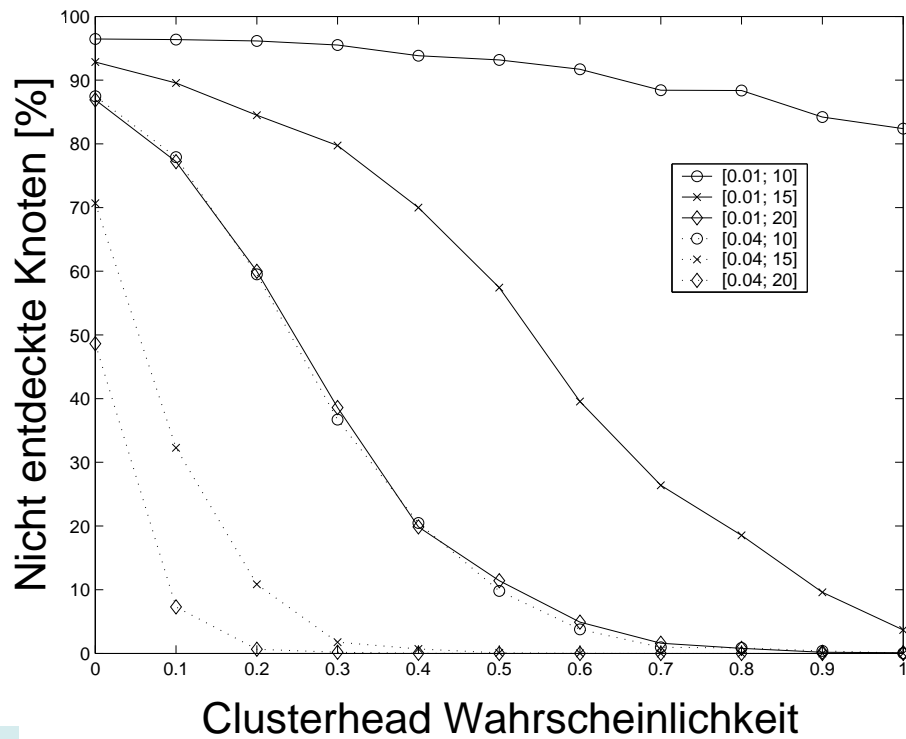
- Cluster sind nicht begrenzt durch Piconetzgröße
- Energieeinsparungen bei geringen Datenraten
- Reduzierte Interferenzen (Wieviele Bluetooth Piconetze passen in einen Raum?)



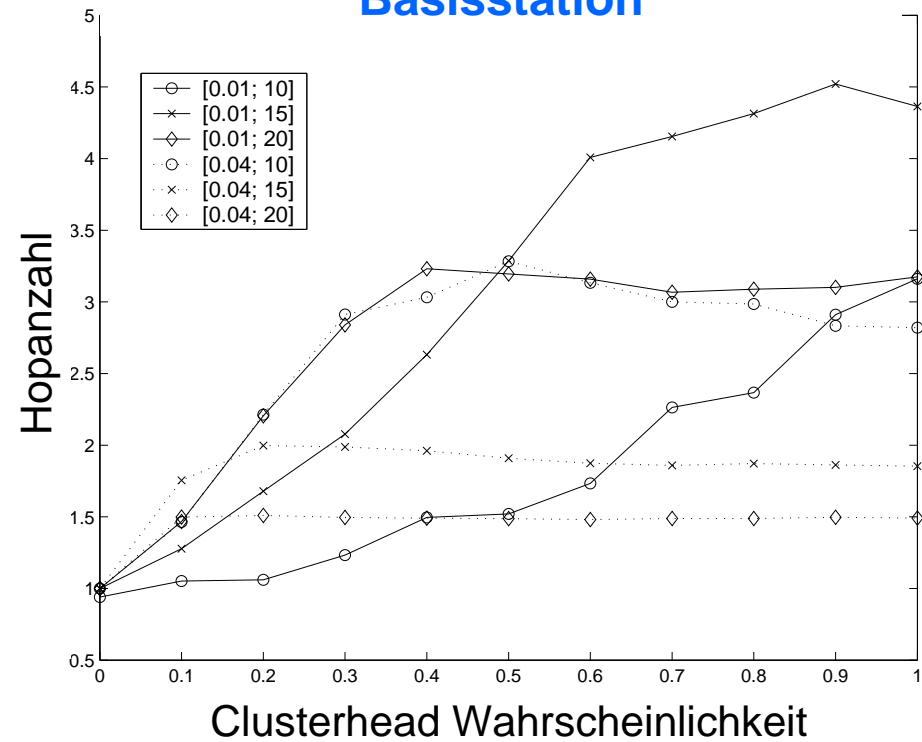
Simulationsergebnisse

Legende: [Knotendichte; Übertragungsreichweite]
2 Simulation-Setups: 100m*100m mit 100 Knoten (Knotendichte 0,01)
 50m*50m mit 100 Knoten (Knotendichte 0,04)

Nicht entdeckte Knoten

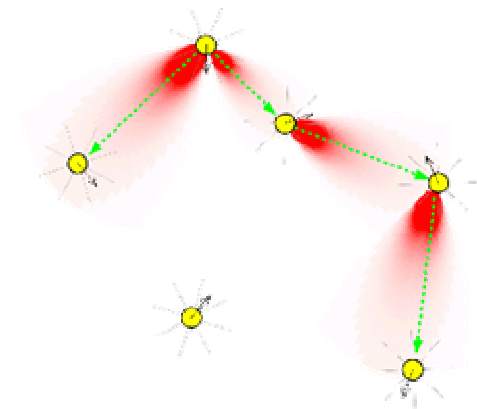


Durchschnittliche Hopanzahl zur Basisstation

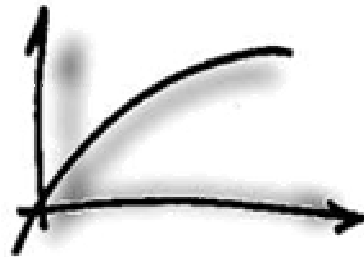


DCP-Entwicklung mit SeNeTs

- Extensive Tests und Emulationen von DCP-basierenden Netzwerken
- Beweis des Konzeptes
- SeNeTs-Emulation bietet essentielle Einsicht in das Protokoll-Design
 - Synchronisierung von Page/Inq. Scan-Modi
 - Test der Multihop-Funktionalität
 - Beobachtung des tatsächlich anfallenden Netzwerkverkehrs



– Ergebnisse – **Positionierung CGLCD**



Coarse Grained Localization

Eigenschaften:

- Schwerpunktbestimmung aus Beaconpositionen
- Fehler=Distanz zwischen bestimmter Position und wahrer Position

$$f_i(x, y) = \sqrt{(x_{i_{app}} - x_{i_a})^2 + (y_{i_{app}} - y_{i_a})^2}$$

Fehlerverlauf:

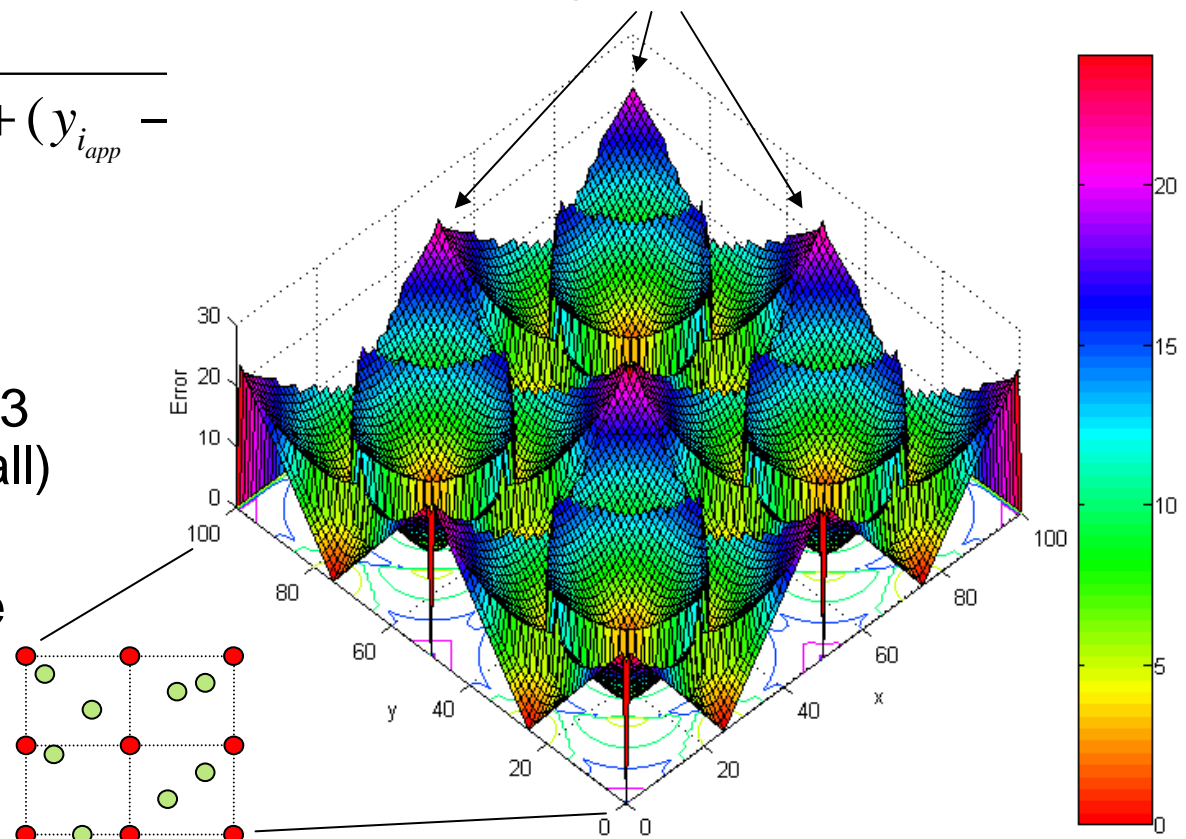
- Gitteranordnung von 3x3 Beacons (Infrastrukturfall)
- Feldbreite 100x100
- Übertragungreichweite der Beacons $r=50$

$x_{i_{app}}, y_{i_{app}}$ = Bestimmte Koordinaten von Knoten i

x_{i_a}, y_{i_a} = Exakte Koordinaten von Knoten i

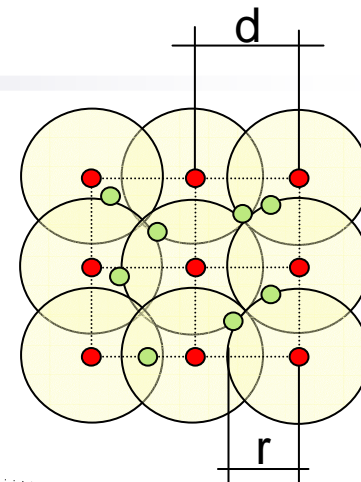
f_i = Positionierungsfehler von Knoten i

● = Beacons



Bestimmung des minimalen Fehlers

Gesucht: Optimales Verhältnis G_{opt} aus Übertragungreichweite vs. Beacondistanz

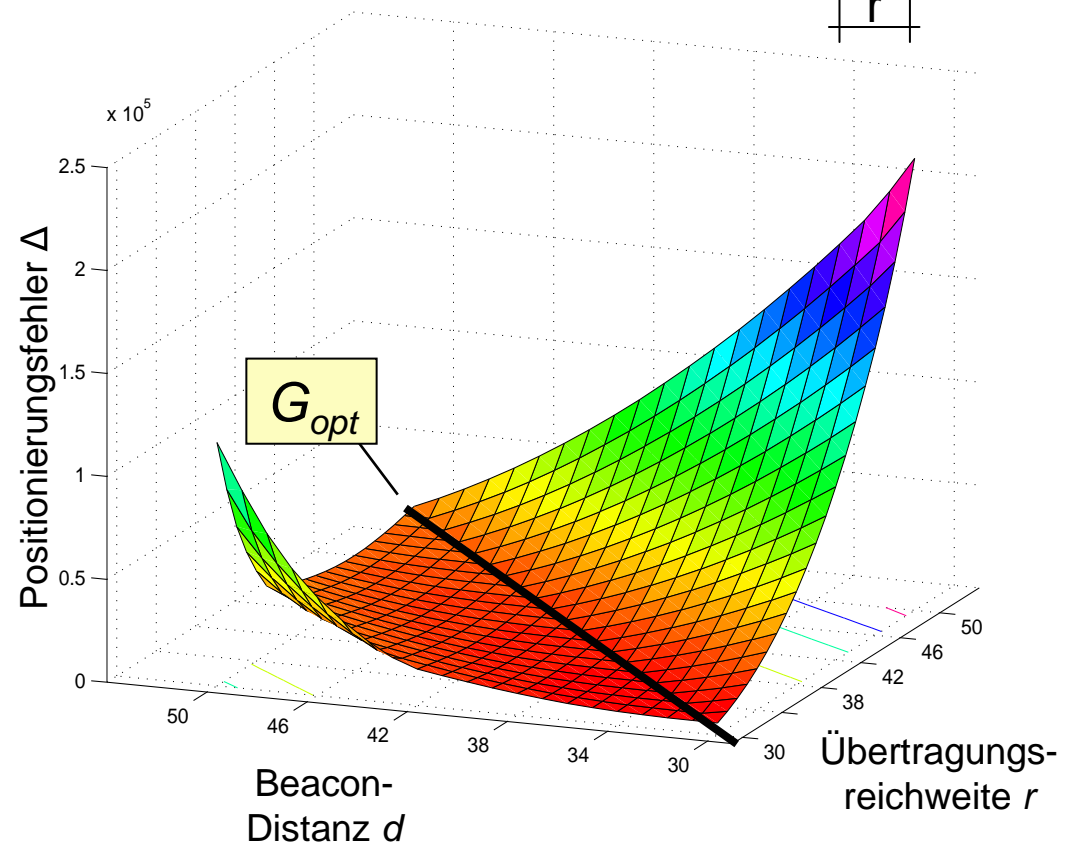


- Bestimmung des Positionierungsfehlers Δ_i durch Variation von r und d
- Bestimmung von r_{opt} an Distanzen d_i mit kleinstem Positionierungsfehler

$$G_{opt_i} = \frac{r_{opt_i}}{d_i}$$

Ergebnis:

- G_{opt} is konstant !
- $G_{opt} \approx 0,86$



Beweis der Optimalität

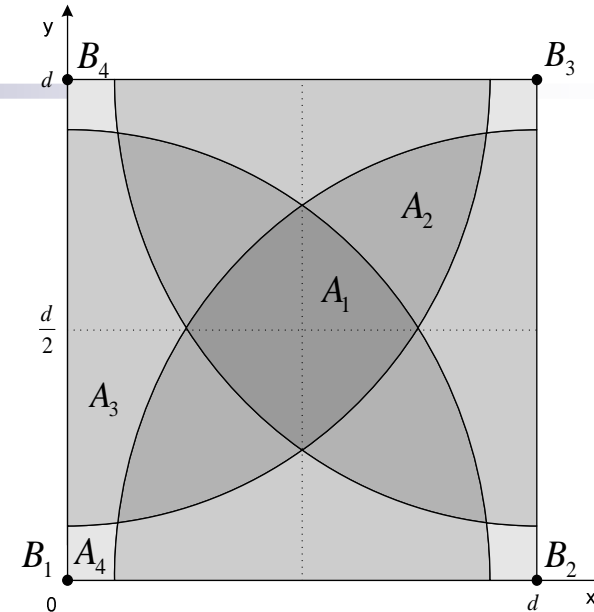
Beweis:

- Ermittlung des minimalen Flächenfehlers P_x eines Infrastrukturelements
- r_{opt} aus min. Fehler $P_{1..j}$ berechnen

Ergebnisse:

- Beweis von $C_{opt}/r_{opt}=0,86$ entwickelt
- Komplette analytische Beschreibung des Algorithmus (Keine Simulation nötig!)
- Minimaler Fehler: ~5%
- Reduzierung des Energieverbrauchs

r = Übertragungreichweite
 d = Abstand zwischen Beacons
 P_x = Flächenfehler für A_x
 E = Energie



$$P_4(r, d) = 2 \left| \int_0^{\frac{d}{2} - \frac{\sqrt{2r^2 - d^2}}{2}} \int_x^{d - \sqrt{r^2 - x^2}} \sqrt{x^2 + y^2} dy dx \right|$$

$$\left. \frac{dP_A(r, d)}{dr} \right|_{d=const} = 0 \rightarrow r_{opt}$$

$$E_{Trans} = E_{Bit} \cdot \left(\frac{4 \cdot \pi \cdot r_{opt}}{\lambda} \right)^2 < E_{Bit} \cdot \left(\frac{4 \cdot \pi \cdot r_{max}}{\lambda} \right)^2$$



Power-Error Produkt (PEP)

Energiebetrachtungen (ideal):

$$E_{Send} = E_{Init} + mE_{Dyn}$$

$$E_{Dyn} = E_{Bit} \cdot \left(\frac{4 \cdot \pi \cdot r}{\lambda} \right)^2$$

$$E_{Dyn} \Big|_{E_{Bit} \cdot \left(\frac{4 \cdot \pi}{\lambda} \right)^2 = 1} = r^2$$

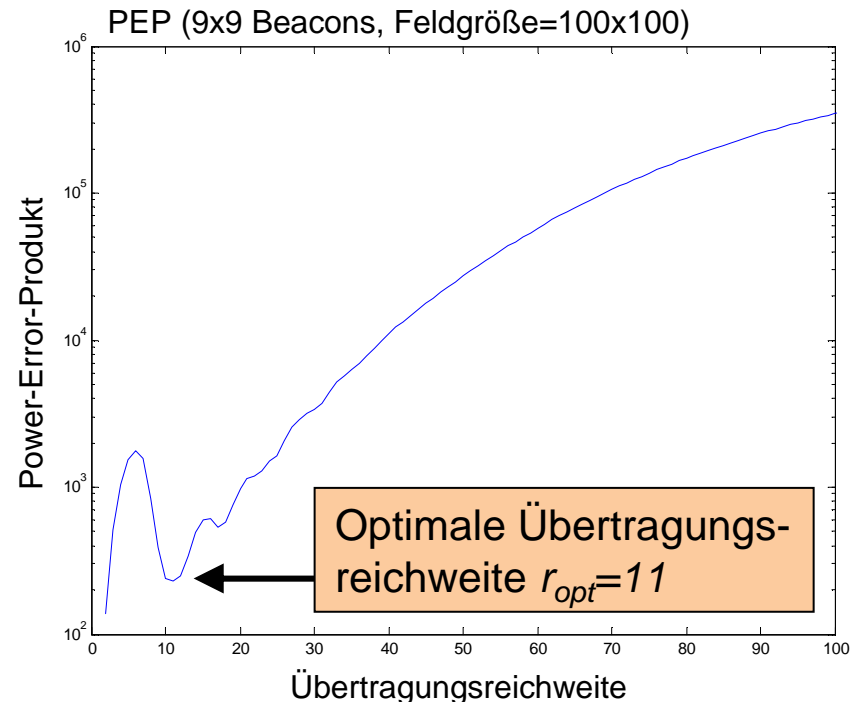
- m = Anzahl der zu übertragenden Bits
- E_{Init} = Initialisierungsenergie des Transmitters
- E_{Dyn} = Übertragungsenergie für ein Bit
- λ = Wellenlänge
- r = Übertragungsbereichweite der Beacons
- PEP = Power-Error-Produkt
- L = Anzahl der Sensorknoten im Netzwerk
- r = Distanz
- f_i = Positionierungsfehler in einem Sensorknoten
- $f_{l_{mean}}$ = Durchschnittlicher Positionierungsfehler

Power-Error-Produkt:

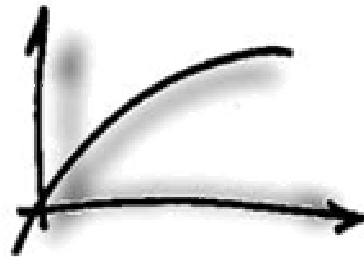
$$PEP = E_{Dyn} \cdot f_{l_{mean}}$$

$$= r^2 \cdot \frac{\sum_{i=1}^l f_i}{l}$$

Performance-Indikator für Optimierungsproblem aus Übertragungsbereichweite, Unbekannten und Positionierungsfehler



– Ergebnisse – **Positionierung WCL**



Weighted Centroid Localization (WCL)

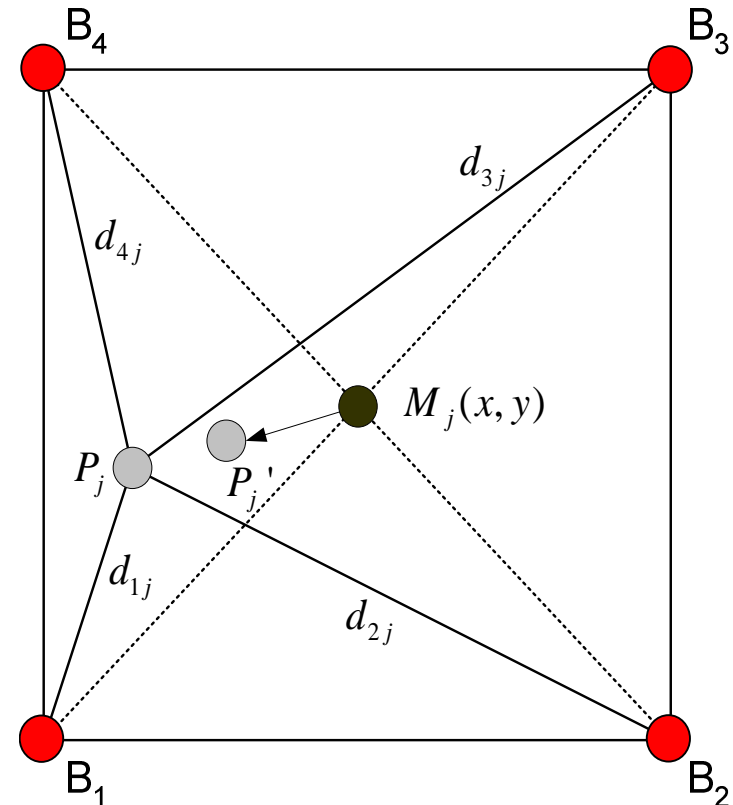
Ansatz: Gewichtete Schwerpunktberechnung

$$P'_j(x, y) = \frac{\left(\sum_{i=1}^b (w_{ij} \cdot B_i(x, y)) \right)}{\left(\sum_{i=1}^b w_{ij} \right)}$$

Optimierungskriterium:

$$w_{ij} = \frac{1}{(d_{ij})^g}$$

w_{ij} =Gewicht zwischen B_i und U_j ; b =Beaconanzahl; $B_j(x, y)$ =Position des Beacons

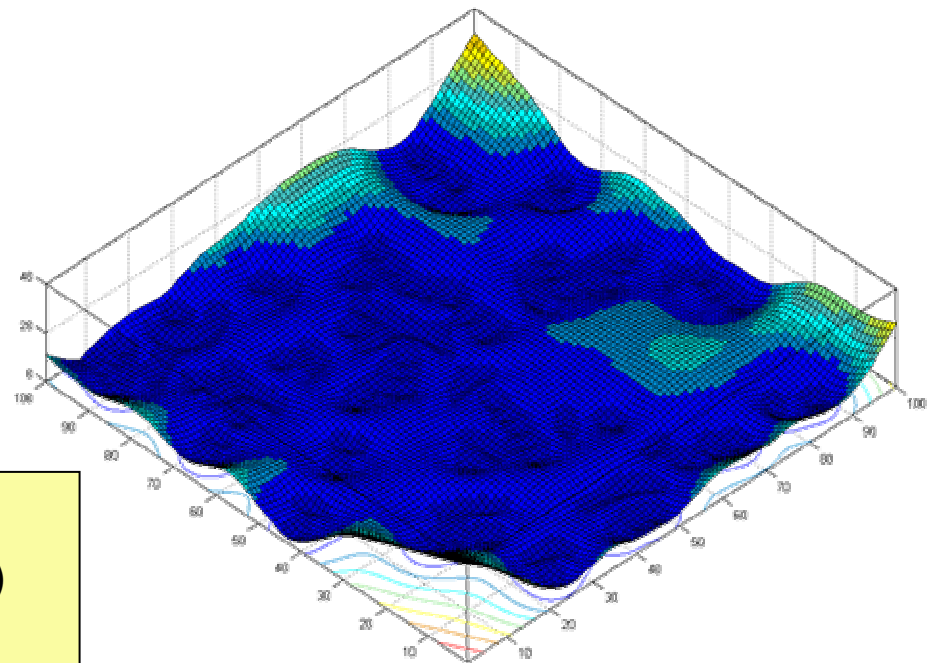


WCL - Eigenschaften

- Zufällige Verteilung der Knoten und Beacons
- Autarke Berechnung
- Robust & skalierbar
- Geringerer Energieverbrauch durch
 - ↓ Berechnungsaufwand
 - ↓ Netzwerkverkehr
- Positionierungsfehler gering:
 - WCL.....>3%
 - APIT.....>6%
 - CGLCD..>5%

Beispiel:

1000 Knoten bei 25 Beacons (2,5%)
∅ Positionierungsfehler=3,3%



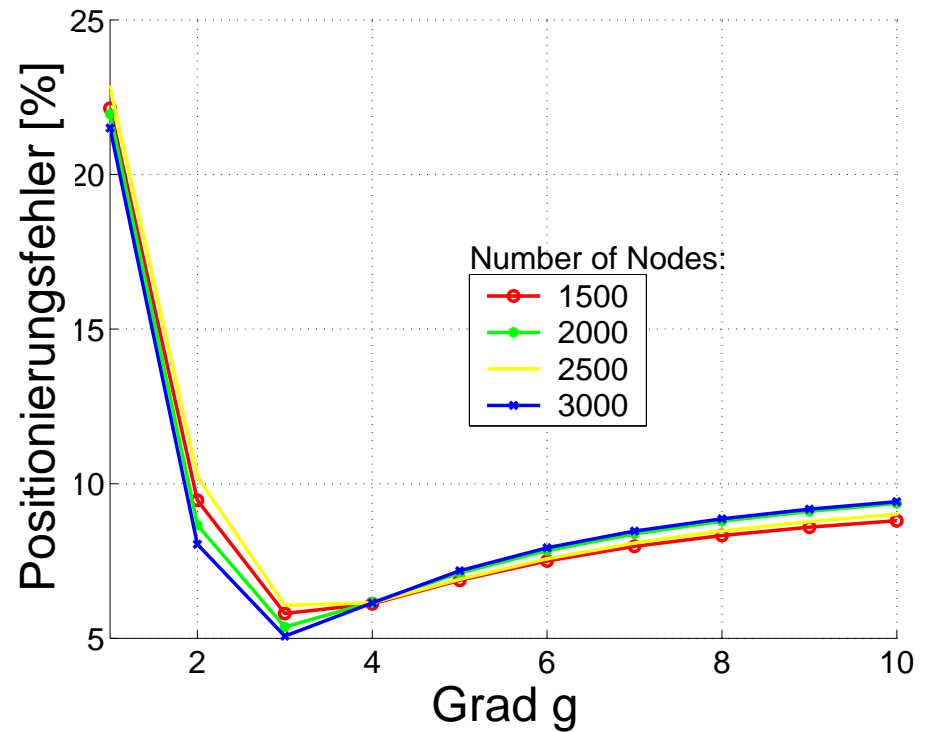
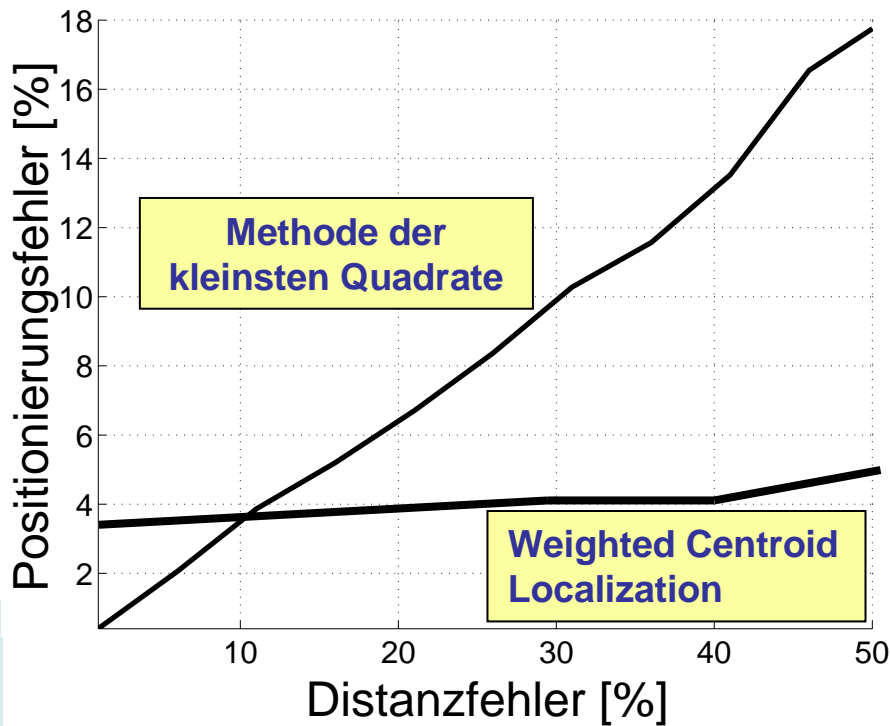
WCL - Besonderheiten

Unabhängigkeit von Eingangsmessfehlern steigt !

Positionierungsfehler sinkt, wenn sich Grad des Gewichts 3 nähert.

$$w_{ij} = \frac{1}{(d_{ij})^g}$$

← Grad



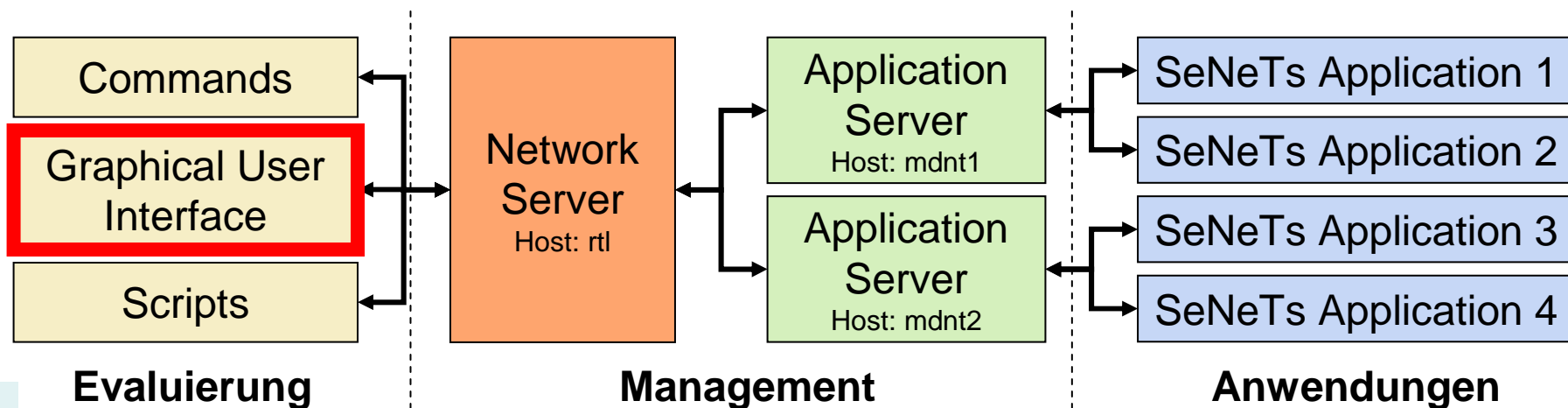
– Aktuelle Arbeiten –

EnviSense



EnviSense

- Leistungsstarke grafische Benutzeroberfläche für große drahtlose Sensornetzwerke
- Plattformunabhängig durch JAVA & XML
- Einfache Konfiguration von Sensorknoten (Start, Stop, Download, Reset, GetAttribute)
- Maßgeschneiderte Anfragen an Sensorknoten
- Übersichtliche Darstellung und Auswertung von Attributen der Sensorknoten



EnviSense: Screenshot

The screenshot displays the 'DCP - Data Collection Protocol) - EnviSense' application window. The interface includes a menu bar (File, Sensor Networks, Window, Help) and a tree view on the left showing a network structure with folders like 'Bluetooth-Network', 'Bluetooth (Pool)', and 'Chipcon (Dike)'. The main area features a 'Sensornode table' tab with a table listing sensor nodes and their data.

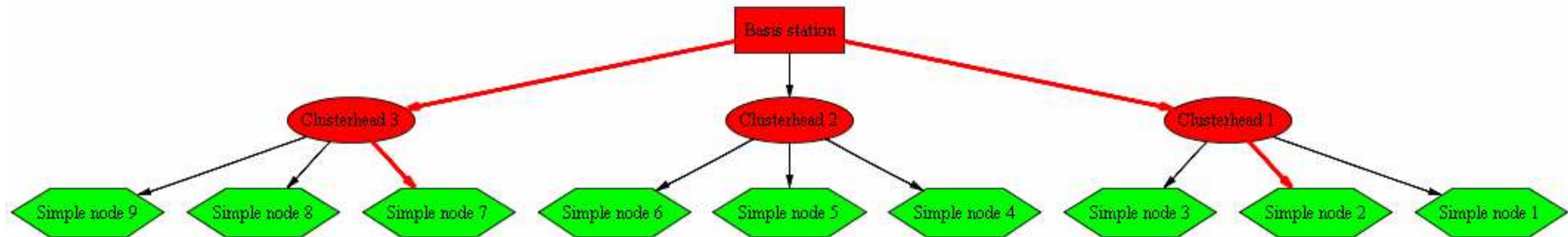
Node name	Software	Version	Vendor	MAC	Temperature	Pressure	Changed
Basis station	dcp		Uni Rostock	00-10-DC-71-92-67	25.2	1031 hPa	10:20
Cluster 1	dcp	V1.01	Uni Rostock	00-1d-9f-74-34-67	23.4	1025 hPa	10:20
Cluster 2	dcp	V1.01	Uni Rostock	00-6d-1D-41-64-52	24.7	1042 hPa	10:20
Cluster 3	dcp	V1.01	Uni Rostock	00-d0-22-71-92-67	25.2	1030 hPa	10:20
Simple node 1	dcp	V1.02	Uni Rostock	00-20-DC-71-a9-67	24.0	1027 hPa	10:30
Simple node 2	dcp	V1.02	Uni Rostock	00-1a-a1-81-23-12	25.1	1026 hPa	10:30
Simple node 3	dcp	V1.00	Uni Rostock	00-12-ab-26-92-67	24.7	1027 hPa	10:30
Simple node 4	dcp	V1.00	Uni Rostock	00-10-DC-df-26-75	23.9	1039 hPa	10:30
Simple node 5	dcp	V1.00	Uni Rostock	00-13-af-45-26-78	25.2	1023 hPa	10:30
Simple node 6	dcp	V1.02	Uni Rostock	00-60-57-d8-0b-5f	24.6	1020 hPa	10:30
Simple node 7	dcp	V1.02	Uni Rostock	00-19-ae-71-92-62	25.0	1021 hPa	10:30
Simple node 8	dcp	V1.01	Uni Rostock	00-12-af-79-72-78	25.4	1038 hPa	10:30
Simple node 9	dcp	V1.01	Uni Rostock	00-31-74-dc-97-98	24.6	1035 hPa	10:30

Welcome to EnviSense V0.02 Build 132 compiled on 2004/12/08.

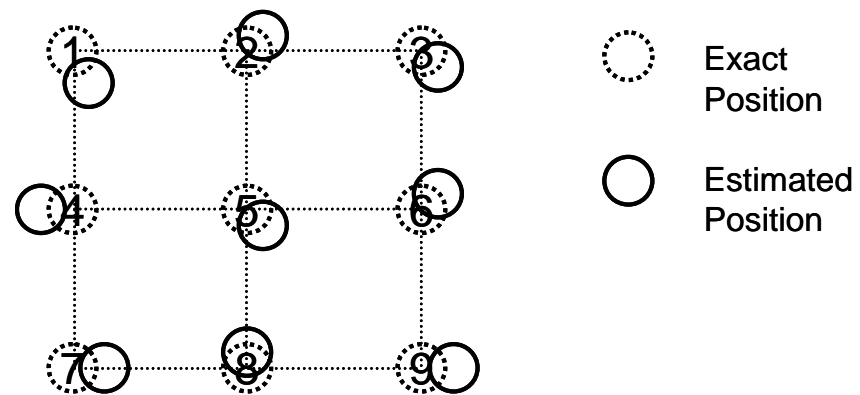


Auswertungen in EnviSense

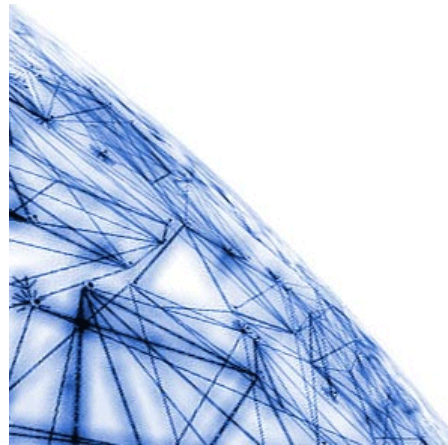
Topologiebaum



Positionierungsfehler

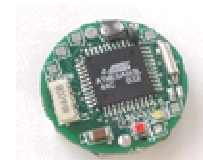


– Aktuelle Arbeiten – Mobile Positionierung



Komplexität bei mobiler Positionierung

- ChipCon CC1010:
 - 8051 Mikrocontroller
 - Takt: Bis zu 16MHz → 16 Mips
- Atmel ATmega 128 (Mica Mote)
 - Takt: 4 MHz → 4 Mips



Beispiel: Berechnungsdauer auf Prozessor mit 10 Mips

n	O(n)	O(n ²)	O(n ³)	O(n ⁴)
10	10 ⁻⁶ s	10 ⁻⁵ s	10 ⁻⁴ s	10 ⁻³ s
100	10 ⁻⁵ s	10 ⁻³ s	10 ⁻¹ s	10 s
1000	10 ⁻⁴ s	10 ⁻¹ s	10 ² s (≈ 1,7 min)	10 ⁵ s (≈ 1,2 Tage)
10000	10 ⁻³ s	10 ¹ s	10 ⁵ s (≈ 1,2 Tage)	10 ⁹ s (≈ 31 Jahre)

Komplexität bei Mobilität

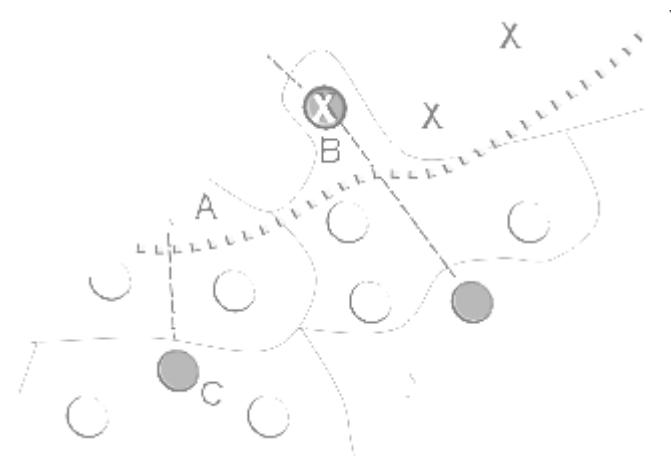
Aber: Diese Prozessoren haben keine Floating Point Unit (FPU) !



Mobile Positionierung

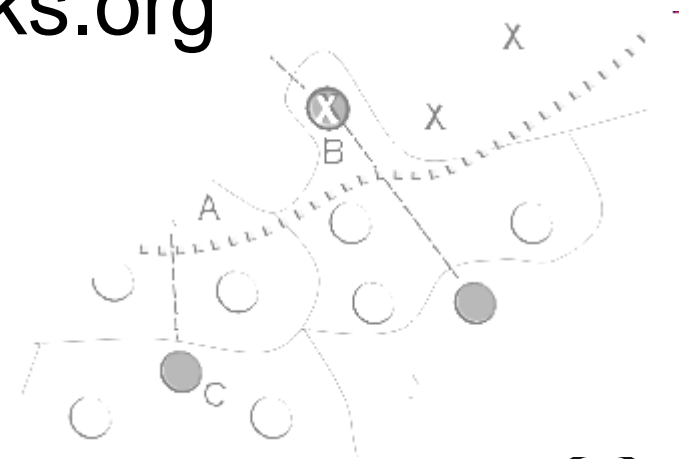
Exakte mathematische Verfahren kaum nutzbar, weil:

- Keine FPU vorhanden
- Komplexität der Algorithmen zu hoch
- Riesiger Speicherverbrauch durch Matrizen
- Hoher Energieverbrauch

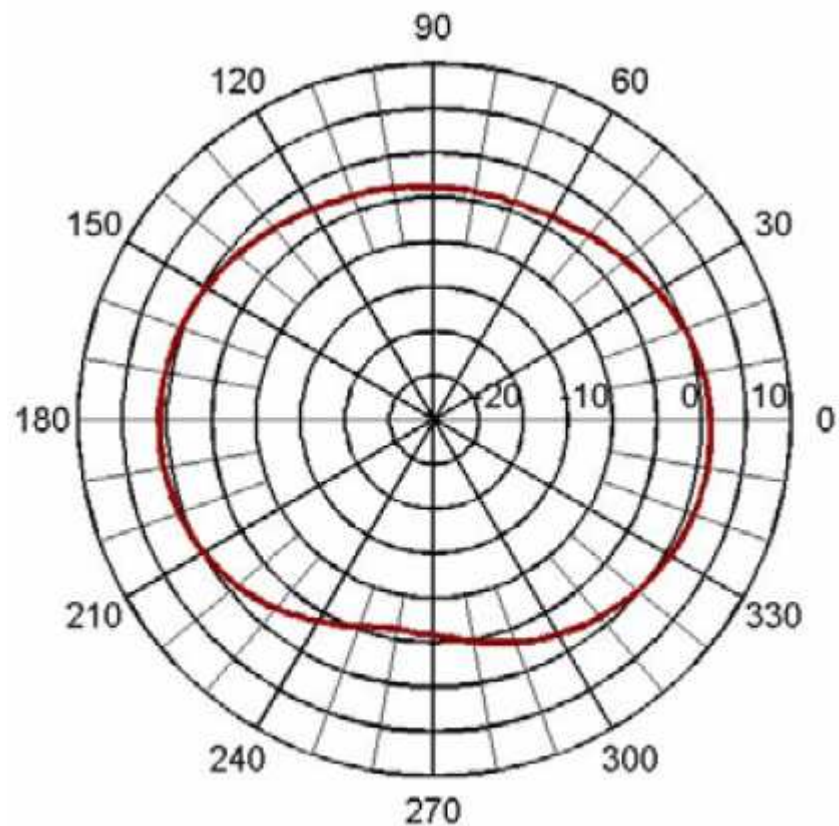


Vielen Dank!

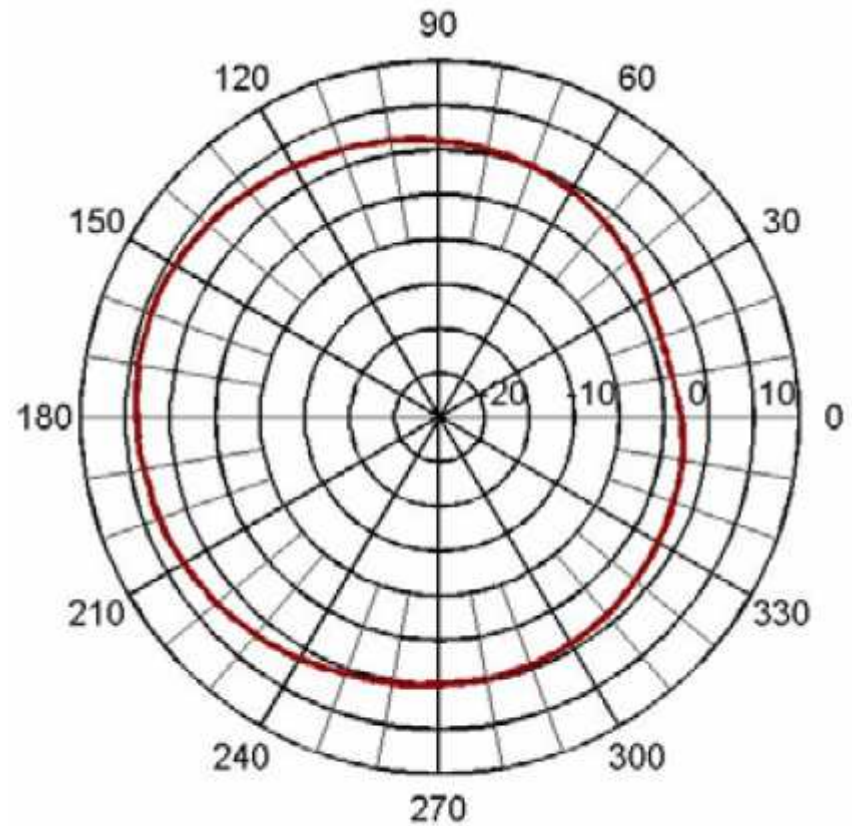
www.sensornetworks.org



Empfangsprofile von Antennen



Azimuth Plane



Elevation Plane



Demonstratorplattform: BlackCubes

Chipcon CC1010 – Development Kit

- Sehr geringe Leistungsaufnahme (9,1 mA in RX)
- Hoch sensitiv
- Einstellbare Ausgangsleistung (868 MHz)
- Datenraten bis zu 76,8 KBit/s
- Wenige externe Komponenten
- RSSI-Messungen
- Temperatursensor
- 8051-kompatibler Mikrocontroller

